

Άρα η πιθανότητα ένα σφαιρίδιο να έχει πάρει σε αντανάκλαση x είναι:

$$P(x) = \frac{m!}{m_R! (m - m_R)! 2^m}$$

όπου

$$m_R = \frac{1}{2} \left(m + \frac{x}{l} \right) \quad \text{όπου}$$

$$P(x) = \frac{m!}{\left[\frac{1}{2} (m+s) \right]! \left[\frac{1}{2} (m-s) \right]! 2^m}$$

με $s = \frac{x}{l}$

για $m \rightarrow \infty \quad \ln N! \approx N \ln N - N$ (ζήτηση του Stirling)

$$\hookrightarrow -\ln P = \frac{m+s}{2} \ln \left(1 + \frac{s}{m} \right) + \frac{m-s}{2} \ln \left(1 - \frac{s}{m} \right)$$

για $s/m \ll 1 \quad : \quad \ln \left[1 + (s/m) \right] \approx \frac{s}{m} - \frac{s^2}{2m^2}$

$$\hookrightarrow \ln P = -\frac{x^2}{2ml^2} \quad (\text{Άσκηση})$$

$$\rightarrow P = k' \exp \left[-\frac{x^2}{2ml^2} \right]$$

↳ σίγουρα λόγω προσέγγισης του ζήτου Stirling.

Η πιθανότητα $P(x)$ το σφαιρίδιο να βρισκείται κάπου ανάμεσα στο $-\infty$ και το $+\infty$ είναι 1. Άρα

$$k' = \left[\int_{-\infty}^{+\infty} \exp \left(-\frac{x^2}{2ml^2} \right) dx \right]^{-1}$$

$$\Rightarrow k' = (2\pi ml^2)^{-1/2} \quad (\text{Άσκηση})$$

Άρα έχουμε: \rightarrow

$$P(x, m) = \frac{1}{m^{1/2} \sqrt{2\pi}} \exp \left[- \left(\frac{x^2}{2m\ell^2} \right) \right]$$

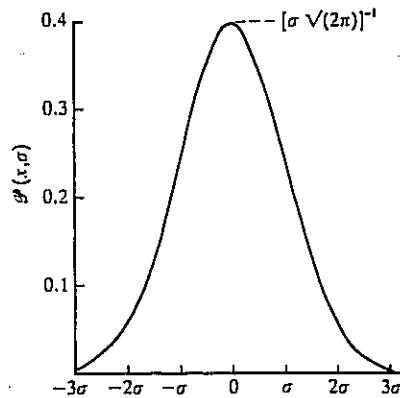


Fig. 1.5.1 The normal distribution curve. Note that although, theoretically, the distribution stretches to infinity in either direction, in practice it has become negligible after ± 3 standard deviations from the mean. The maximum value of the function is $[\sigma\sqrt{2\pi}]^{-1}$ and this is called the *precision* of the distribution.

Για $\bar{x} = 0$ και $\sigma = m^{1/2}\ell$ έχουμε την κανονική μορφή της κανονικής κατανομής (normal distribution)

$$P(x, \sigma) = \frac{1}{\sigma\sqrt{2\pi}} \exp \left[- \frac{1}{2} \left(\frac{x - \bar{x}}{\sigma} \right)^2 \right]$$

$$(t/\tau) = m$$

$$\hookrightarrow P(x, t) = \left(\frac{\tau}{2\pi\ell^2 t} \right)^{1/2} \exp \left(- \frac{\tau x^2}{2t\ell^2} \right)$$

Πιθανότητα το σωματίδιο να φτάσει στο σημείο x αφού έχει κάνει ωχίο τ περίοδο για χρόνο t.

* $P(x, t) = P(-x, t)$

Διάχυση κολλοειδών

Απουσία εξωτερικών πεδίων το χημικό δυναμικό μ_i ενός υλικού σε ισορροπία είναι σταθερό.

Αν έχουμε διακλίσεις ζωνικές του μ_i (π.χ. διακλίσεις συν συκέντρωσης) τότε αφαυσία i θα διαχυθούν έτσι ώστε οι διακλίσεις να εξισορροπηθούν.

Η "δύναμη" που ασκεί την διάχυση είναι:

$$F_d = - \frac{d\mu_i}{dx} \quad (\text{για διάχυση})$$

Χημικό δυναμικό: $\mu_i \approx \mu_i^0 + RT \ln c_i$
σταθ. ↓ ↑ συκέντρωση i

Έχει:

"Δύναμη" διάχυσης $F_d = - \frac{d}{dx} [\mu_i^0 + RT \ln (c_i / \text{mol L}^{-1})] = - \frac{RT}{c_i} \frac{dc_i}{dx}$

ανα $f_{d,i}$:

$$f_{d,i} = - \frac{k_B T}{c_i} \frac{dc_i}{dx}$$

Αντιστάθμιζεται από την δύναμη ζήτησης (βύθισης)

$$f_u = B u$$

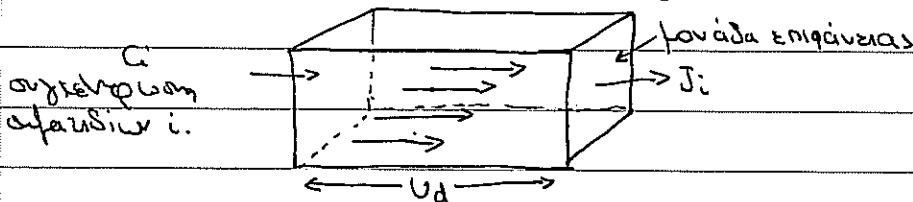
↑ συντάξεως ζήτησης

$$f_d = B u_d$$

↑ ζήτησης ζήτησης

Η ροή ανα επιφάνεια

$$J_i = u_d \cdot c_i$$



* Σημαντικό δεν υπάρχει δύναμη που ασκείται στα $f_{d,i}$ (καθημερινή) αφού τα i κινούνται για να εξισορροπηθούν την ενέργεια.

Πρώτος νόμος του Fick για την διάχυση:

$$J_i = -D \frac{dc}{dx}$$

↳ συντελεστής διάχυσης (Diffusion coefficient)

Αρα $D = -J_i / (dc/dx) = -v_d c / (dc/dx) = \frac{-f_d c}{B (dc/dx)}$

⇒ $D = \frac{k_B T}{B}$ (αφού $f_d = -\frac{k_B T}{c} \frac{dc}{dx}$)

Εξίσωση Einstein για την διάχυση.

Ο συντελεστής ζήτησης B υπολογίζεται με βάση το σχήμα του σωματιδίου και χρησιμοποιώντας το εμβαδόν του διατομής για σφαιρικά σωματίδια ακτίνας R

$B = 6\pi\eta R$ (σχέση Stokes)

εμβαδόν ↙

↳ $D = \frac{k_B T}{6\pi\eta R}$

Σχέση Stokes-Einstein

Χρονοεξαρτημένη Διάχυση

Ο 1^{ος} νόμος του Fick πρέπει να χρονοποιηθεί μόνο $\frac{dc}{dx}$: ανεξάρτητο του χρόνου.

Συνήθως όπως έχουμε παραβείν του dc/dx με τον χρόνο καθώς η διάχυση εξισορροπεί τις διαφορετικές της συγκεντρώσεις.

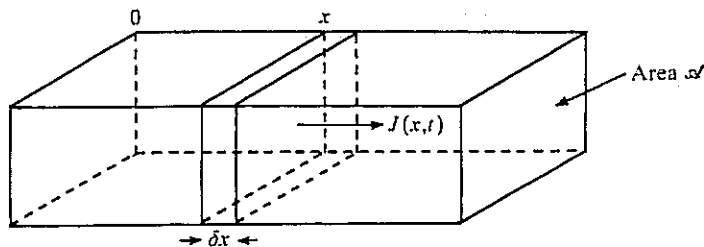


Fig. 1.5.3 Illustrating Fick's second law of diffusion as a consequence of matter conservation.

~~ΑΔΜΚ~~ $\frac{dc}{dt}$

$A \Delta x \left[\frac{\partial c(x,t)}{\partial t} \right] \Delta t$: το υλικό που έχει παβουζει στον όγκο μεταξύ x και $x+\Delta x$ σε χρόνο Δt .

$$= [A J_i(x,t) - A J_i(x+\Delta x,t)] \Delta t$$

$$\Rightarrow \frac{\partial c(x,t)}{\partial t} = \frac{1}{\Delta x} [J(x,t) - J(x+\Delta x,t)] =$$

$$= \frac{1}{\Delta x} \left[-D \left(\frac{\partial c(x,t)}{\partial x} \right)_x + D \left(\frac{\partial c}{\partial x} \right)_{x+\Delta x} \right] =$$

$$= \frac{D}{\Delta x} \left[- \left(\frac{\partial c}{\partial x} \right)_x + \left(\frac{\partial c}{\partial x} \right)_x + \Delta x \left(\frac{\partial^2 c}{\partial x^2} \right) \right] \Rightarrow$$

$$\boxed{\frac{\partial c}{\partial t} = D \frac{\partial^2 c}{\partial x^2}}$$

2^{ος} νόμος του Fick
 ↓
 Διάχυση

Έστω ότι όλα τα σωματίδια είναι περιορισμένα σε ένα άπειρο σφαιρικό που περιέχει $c_0 \text{ mol/L}$, στην αρχή του x ($t=0$).

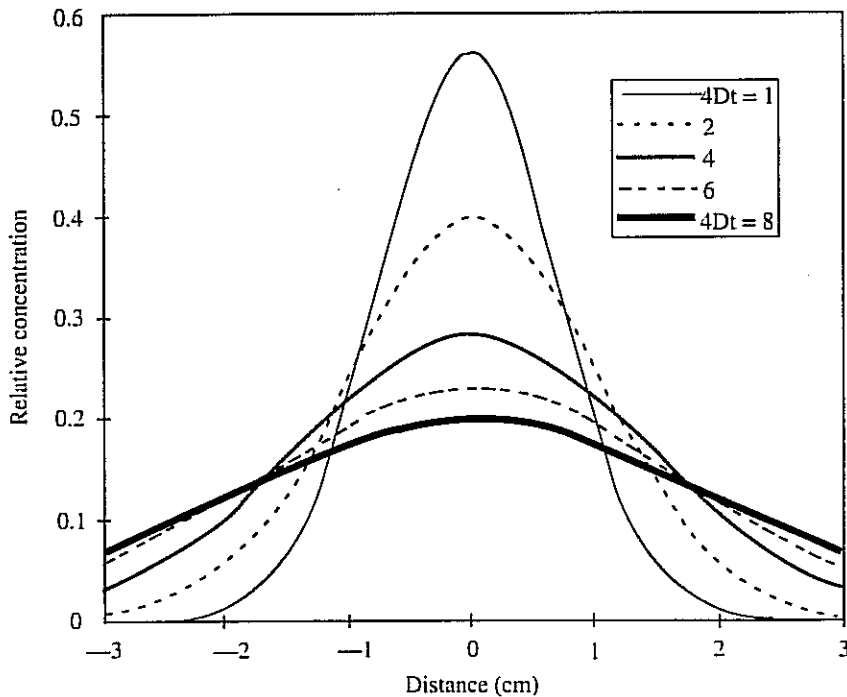


Fig. 1.5.4 Concentration profile at different times as a solute diffuses out in either direction at right angles to the plane at $x = 0$ according to eqn 1.5.23.

Αφήνουμε τα σωματίδια να διαχθούν ελεύθερα και υπολογίζουμε την συγκέντρωση συναρτήσει του t και x .

↳ Λύση:

$$c(x,t) = c_0 \left(\frac{z}{2\pi l^2 t} \right)^{1/2} \exp\left(-\frac{zx^2}{2l^2 t}\right)$$

όπου $z = l^2/2D$ ο κριτικός για κάθε βήμα

↳

$$c(x,t) = c_0 \left(\frac{1}{4\pi Dt} \right)^{1/2} \exp\left(-\frac{x^2}{4Dt}\right)$$

Εξίσωση Einstein-Smoluchowski.

Η μέση απόκλιση $\langle x \rangle = 0$ για την διάχυση που περιγράφεται παραπάνω. (Εξίσωση $\langle R_N \rangle = 0$ για ισχυρή πολυμερική αλυσίδα.)

$$\begin{aligned} \text{Όμως } \langle x^2 \rangle^{1/2} &= \left(\frac{\int_{-\infty}^{+\infty} x^2 c(x,t) dx}{\int_{-\infty}^{+\infty} c(x,t) dx} \right)^{1/2} = \\ &= \left(\frac{1}{c_0} \int_{-\infty}^{+\infty} x^2 c(x,t) dx \right)^{1/2} \end{aligned}$$

Αντί είναι ασίγη η συνολική απόκλιση σ^2 της κανονικής κατανομής.

Άρα

$$\langle x^2 \rangle^{1/2} = (2Dt)^{1/2}$$

Εξίσωση Einstein-Smoluchowski

Χρησιμοποιείστε από τον Perrin για τον υπολογισμό του N_A .

↳ Υπολογίστε το D από μετρήσεις του $\langle x^2 \rangle^{1/2} \rightarrow$

$$\rightarrow D = \frac{k_B T}{\zeta} = \frac{k_B T}{6\pi\eta R} \Rightarrow \text{Υπολογίστε το } k_B \Rightarrow N_A = R/k_B$$

R : σταθ. αργιών ανά μόλε.

Για σφαιρικά σωματίδια με $R = 100 \text{ nm}$ σε νερό σε $T = 25^\circ\text{C}$

έχουμε:

$$D = \frac{1.38 \cdot 10^{-23} \cdot 298}{6\pi \cdot 0.9 \cdot 10^{-3} \cdot 100 \cdot 10^{-9}} = 2.4 \cdot 10^{-12} \text{ m}^2/\text{s} = \underline{\underline{2.4 \cdot 10^{-8} \text{ cm}^2/\text{s}}}$$

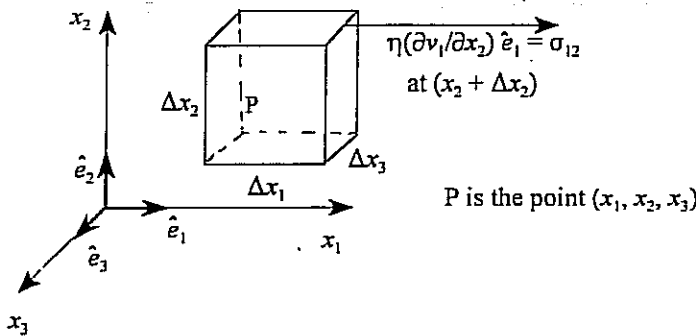
η σε Pa.s R σε m

Για μικρά μόρια $D \approx 10^{-10} \text{ m}^2/\text{s}$

ΣΤΟΙΧΕΙΑ ΚΟΛΛΟΕΙΔΩΝ ΔΙΑΣΤΙΟΡΩΝ

ΔΥΝΑΜΙΚΗ ΚΟΛΛΟΕΙΔΩΝ: ΚΙΝΗΣΗ BROWN, ΔΙΑΧΥΣΗ, ΚΑΘΙΣΤΗΣΗ.

Η εξίσωση που περιγράφει το πεδίο ροής σε ένα Νευτώνικό υγρό είναι η Navier-Stokes:



Προκύπτει από τον 2ο νόμο του Νεύτωνα για ένα μικρό κυβικό γίγρο υγρού.

Fig. 4.6.1 Coordinate system for a uniform flow field.

Navier-Stokes:
$$\rho \left(\frac{\partial \bar{\mathbf{v}}}{\partial t} + \bar{\mathbf{v}} \cdot \nabla \bar{\mathbf{v}} \right) = \bar{\mathbf{F}} - \nabla p + \eta \nabla^2 \bar{\mathbf{v}}$$

όπου $\bar{\mathbf{v}}$: Διάνυσμα ταχύτητας υγρού.

ρ : πυκνότητα υγρού

∇p : → τοπική αλλαγή της πίεσης.

η : ιξώδες υγρού.

$\eta \nabla^2 \bar{\mathbf{v}}$: δυνάμεις ιξώδους (viscous forces)

$\bar{\mathbf{F}}$: δυνάμεις που ασκούνται στα σωματίδια (αλληλεπιδράσεις)

↳ π.χ. βαρυτικές, ηλεκτροστατικές κλπ.

Για ασφαιρικά υγρά $\bar{\nabla} \cdot \bar{\mathbf{v}} = 0$

Από διατήρηση μάζας $\left(\frac{\partial \rho}{\partial t} + \bar{\nabla} \cdot (\rho \bar{\mathbf{v}}) = 0 \right)$

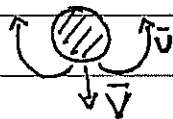
ΔΥΝΑΜΙΚΗ ΚΟΛΛΟΕΙΔΩΝ.

• ΚΑΘΙΖΗΣΗ ΔΙΑΣΠΟΡΑΣ.

↳ Πρέπει να λύσει η Navier-Stokes για το πεδίο ροής γύρω από ανεξέλιπτα σφαιρίδια.

Επειδή η ροή αυτή συμβαίνει σε αρκετά μικρό χώρο (μικρή χωρική διάσταση) μπορούμε να αγνοήσουμε τις δυνάμεις αδράνειας.

Η μεταβολή της ταχύτητας του υγρού γύρω από μια σφαίρα με ακτίνα R θα είναι της τάξης \bar{V}/R όπου \bar{V} η ταχύτητα της σφαίρας



(Θεωρούμε ότι στην επιφάνεια της σφαίρας το υγρό δεν ολισθαίνει)

Άρα ο όρος αδράνειας $\rho \bar{v} \cdot \nabla \bar{v}$ είναι της τάξης $\rho (\bar{V}^2/R)$

Επίσης ο όρος της δύναμης βύθους $\eta \nabla^2 \bar{v}$ είναι $\approx \eta \bar{V}/R^2$

Συνεπώς ο λόγος τους είναι:

$$|\rho \bar{v} \cdot \nabla \bar{v}| / |\eta \nabla^2 \bar{v}| = \rho \frac{VR}{\eta} \quad : \quad \underline{\text{Reynolds number}}$$

↳ Για μικροσκοπικές ροές είναι πολύ μεγάλο.

π.χ. για ροή αέρα γύρω από μια τριάντα του ζώου.

↳ Αλλά για μικροσκοπικές ροές (κροδουρή σφαιρίδια) είναι μικρό. π.χ. $R = 0.5 \mu\text{m}$, $\bar{V} = 10^{-6} \text{ m/s}$, σε νερό σε $T = 20^\circ\text{C}$

$$Re = 5 \cdot 10^{-7}$$

ΑΡΑ ΓΙΑ ΡΟΕΣ ΣΕ ΚΟΛΛΟΕΙΔΗ ΜΠΟΡΟΥΜΕ ΝΑ ΑΓΝΟΗΣΟΥΜΕ ΤΟΝ ΟΡΟ ΤΗΣ ΑΔΡΑΝΕΙΑΣ ΣΤΗΝ NAVIER-STOKES.

ΔΥΝΑΜΙΚΗ ΚΟΛΛΟΕΙΔΙΩΣΕΩΝ

• ΚΑΘΙΣΤΗΣΗ ΔΙΑΣΤΙΟΠΑΣ

→ Άρα είναι
$$\rho \frac{\partial \bar{v}}{\partial t} = \bar{F} - \nabla p + \eta \nabla^2 \bar{v}$$

Αυτός είναι γραμμικός και άρα μπορούμε να διακρίσουμε διαφορετικά φαινόμενα όπως κίνηση Brown και καθίζηση. Ανεξάρτητες λύσεις το ίδιο φαινόμενα μπορούν να αθροιστούν γραμμικά.

Καθίζηση απουσία κίνησης Brown:

Αν το σύστημα συντεταχθέντων κινείται με το σφαιρίδιο : $\frac{\partial \bar{v}}{\partial t} = 0$

→

$$\eta \nabla^2 \bar{v} = \nabla p - \bar{F} \quad \text{και} \quad \nabla \cdot \bar{v} = 0$$

ΕΞΙΣΩΣΕΙΣ Stokes

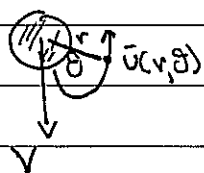
Για σφαιρίδιο που καθιζάνει $\bar{v} = 0$ πάνω στην επιφάνεια του $R = r$ και $\bar{v} = -\bar{V}$ μακριά από το σφαιρίδιο.

Η ταχύτητα καθίζησης \bar{V} υπολογίζεται από εξίσωση των δυνάμεων που ασκούνται στο σφαιρίδιο. Η ζεφραυκή ταχύτητα είναι :

$$U_t = \frac{2}{9} \frac{(\rho_s - \rho)}{\eta} g R^2 \quad \leftarrow (m_s g - m' g - f_v = m \frac{du}{dt} = 0)$$

Η λύση των εξισώσεων Stokes για το πεδίο ροής γύρω από ένα σφαιρίδιο με ακτίνα R που καθιζάνει με ταχύτητα \bar{V} ($= U_t$) είναι :

$$\bar{u} = \left(-1 + \frac{3R}{r} - \frac{1}{2} \frac{R^3}{r^3}\right) \bar{V} \cos\theta \hat{r} + \left(1 - \frac{3R}{4r} - \frac{1}{4} \frac{R^3}{r^3}\right) \bar{V} \sin\theta \hat{\theta}$$



Για μεγάλες αποστάσεις

$$u \sim \frac{1}{r}$$

⇒ αρκετά αρχή πύση ⇒ άρα η παραπάνω ισχύει για αρκετά αραιά διαλύματα.

ΔΥΝΑΜΙΚΗ ΚΟΛΛΟΕΙΔΩΣ

• ΚΑΘΙΣΤΗΣΗ ΔΙΑΣΤΟΡΑΣ

Η δύναμη που ασκεί το υγρό στο σφαιρίδιο προκαλεί απόκλιση-
 ρύθμιση τις δυνάμεις πάνω στην επιφάνεια του :

α) την δύναμη άνωσης, β) την δύναμη τριβής

Τελική προκύπτει:

$$\bar{V} = \frac{2}{9} \frac{R^2}{\eta} \left(\frac{\rho_s}{\rho} - 1 \right) \bar{F}$$

ρ_s : πυκνότητα σφαιριδίου

ρ : πυκνότητα διαλύτη.

Συνολική δύναμη πάνω στο σφαιρίο. π.χ. βαρύτητας.

* Ανισότροπα καλλοειδή έχουν απειρίσιο περιφέρεια. Η καθίζηση εξαρτάται από την προσανατολισμό του σφαιριδίου.

• ΚΑΘΙΣΤΗΣΗ ΣΕ ΠΥΚΝΑ ΔΙΑΛΥΜΑΤΑ

• Οι υδροδυναμικές αλληλεπιδράσεις παίζουν σημαντικό ρόλο.

Η διαταραχή της ταχύτητας του υγρού λόγω της κίνησης ενός σφαιριδίου είναι σημαντική για $r \leq R$. Συνεπώς οι ΥΑ θα είναι σημαντικές όταν οι αποστάσεις μεταξύ των σφαιριδίων είναι $\sim R$. Για κλάση υγρού ϕ η πιθανότητα αλληλεπιδράσεων (λόγω των ΥΑ) τριών σφαιριδίων είναι σημαντικά μικρότερη ($\sim \phi^2$) από αυτή δύο σφαιριδίων ($\sim \phi$).

Η μέση ταχύτητα καθίζησης είναι:

$$\langle V \rangle = \bar{V}_0 (1 + \alpha\phi + \beta\phi^2 + \dots)$$

α = ταχύτητα καθίζησης ενός απομονωμένου σφαιριδίου.

α) προκύπτουν από την λύση των εξισώσεων Stokes για β) δύο και τρία σφαιρίδια αντιστοίχα λαμβάνοντας υπόψη τις όσες ως πιθανές αποστάσεις και σχετικές θέσεις και διευθύνσεις.

Η άσκηση του προφανέστατος είναι γενικά δύσκολη.
 Για σφαιρές που δεν αλληλεπιδρούν μεταξύ τους και που η πιθανότητα να βρεθούν σε απόσταση r είναι σταθερή (ανεξάρτητη του r).



$a = -6.55$

Batchelor
1972.

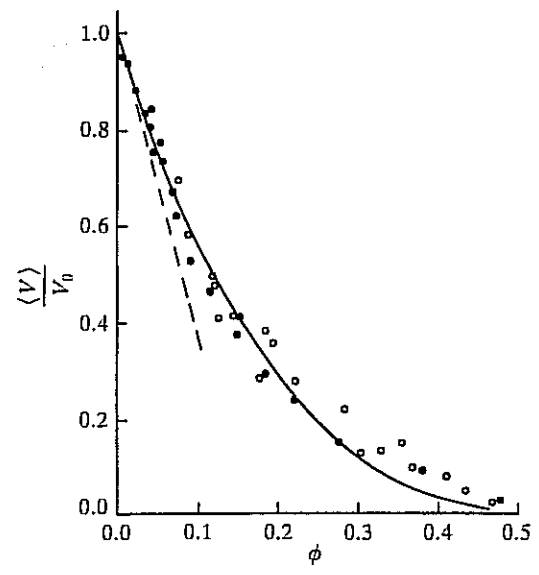


Fig. 4.8.1 The average sedimentation velocity (V) is a function of particle volume fraction. The points were obtained from measurements on latex suspensions and the curve represents eqn (4.8.8) with $k = 5.4$ and $p = 0.585$. (From Buscall *et al.* 1982, with permission).

Άρα $\langle V \rangle = V_0 (1 - 6.55 \phi)$

↳ Πειραματικά δεδομένα \rightarrow καλή ακρίβεια για $\phi < 0.05$!

\rightarrow Οι όροι με ϕ^3 και $\dots \phi^5$ είναι σημαντικοί.

↳ Μόλις άρχω της αρχής ($\sim 1/r$) πίεσης του πεδίου ροής δίπλα στο σφαιρίδιο.

Ακριβέστερη έκφραση: $\langle V \rangle = V_0 \left[1 - \frac{\phi}{P} \right]^{k_1 P}$ με $k_1 = 5.4$
 $P = 0.585$

* Τα παραπάνω ισχύουν για περιοχή του διαλύματος όπου το σύστημα είναι μακροσκοπικά ομογενές: Δηλ. δεν υπάρχουν μεταβολές στο ϕ .

- ΑΝΑΛΥΣΗ ΕΞΑΙΤΙΑΣ ΧΕΡΙΚΩΝ ΑΝΟΜΟΙΟΓΕΝΕΙΩΝ ΤΗΣ ΣΥΚΕΝΤΡΩΣΗΣ C GRADIENT DIFFUSION)

Όταν υπάρχει μεταβολή ως συγκέντρωσης των σφαιριδίων στον χώρο π.χ λόγω της καθίζησης προκαλείται διάχυση από την περιοχή με μικρότερη συγκέντρωση προς την περιοχή μεγαλύτερης συγκέντρωσης

* Έστω ότι το διάλυμα είναι σε ισορροπία υπό την επίδραση ενός εξωτερικού πεδίου (π.χ βαρύτητας) που ασκεί μια δύναμη $f(x)$ πάνω στα σφαιρίδια κολλοειδούς.

↳ Η συγκέντρωση $c(x)$ σφαιριδίων σε ισορροπία θα είναι μη ομογενής στον χώρο.

↳ Η ροή που θα προκαλεί η κίνηση Brown εξαιτίας της μη ομογενούς $c(x)$ εξισορροπείται την ροή που προκαλεί η καθίζηση.

Η ροή καθίζησης είναι:

$$c(x) \cdot \left[\frac{k(\phi)}{6\pi\eta R} \right] f$$

$(k(\phi) \cdot f = 6\pi\eta R U \Rightarrow k(\phi)/6\pi\eta R = U \text{ για } f=1 : \text{ (έση ταχύτητα καθίζησης για δίοδυο με } \phi \text{ όπου ασκείται το αντίστοιχο δύναμη στα σφαιρίδια)})$

$$L \quad k(\phi) = \frac{\langle V \rangle}{V_0} = 1 - 6.55\phi$$

$$V_0 = V_t = \frac{f_0}{6\pi\eta R}, \quad f_0 = f \Rightarrow k_0 = \frac{\langle V \rangle}{V_0}$$

Για χρονικά αμερόνες διάλυμα η ροή λόγω των λειτουργικών μεταβολών στην συγκέντρωση $c(x)$ είναι:

$$J_B^{(x)} = -D^{(\phi)} \nabla c(x) \quad \text{C 1}^{\text{ος}} \text{ νόμος Fick (ε } D = D(\phi))$$

Άρα $D(\phi) \nabla c = -c(x) \cdot \frac{k(\phi) f}{6\pi\eta R}$

Η συνολική δύναμη $-c(x) \cdot f$ που ασκείται σε ένα όγκο με ογκομετρικά αμέγιστα πρέπει να εξισορροπείται από επιφανειακές δυνάμεις στον όγκο αυτό.

Οι συνάψεις αυτές έχουν την μορφή οσμωτικής πίεσης Π που δρά κάθετα στην επιφάνεια.

$$\text{Αντ. } -c(x) \cdot f = \nabla \Pi = \frac{d\Pi}{dc} \nabla c(x)$$

Άρα έχουμε:

$$D(\phi) = \frac{k(\phi)}{6\pi\eta R} \frac{d\Pi}{dc}$$

\Rightarrow Ο συντελεστής συνεργαζικής διάχυσης (gradient diffusion) μπορεί να υπολογιστεί από τον συντελεστή καθ. ζίνσης $k(\phi)$ και την μεταβολή της οσμωτικής πίεσης $d\Pi/dc$

- ~~κ~~ $\frac{d\Pi}{dc} = k_B T (1 + \beta \phi)$ προσεγγιστική σχέση για σχετικά μικρά ϕ .
- $k(\phi) = 1 - 6.55\phi$

$\hookrightarrow D = D_0 (1 + 1.45\phi)$ Batchelor 1976

$$= \frac{k_B T}{6\pi\eta R}$$

ΔΥΝΑΜΙΚΗ ΚΟΛΛΟΙΔΙΩΝ

- ΔΙΑΧΥΣΗ - ΚΙΝΗΣΗ BROWN.
- ΜΕΤΑΦΟΡΙΚΗ ΔΙΑΧΥΣΗ ΣΕ ΑΡΑΙΑ ΔΙΑΛΥΜΑΤΑ
(translational diffusion)
Αυτοδιάχυση (Self-diffusion)

Μεση ελεύθερη κίνηση:

$$\langle \Delta r^2(t) \rangle = \langle |r(t) - r(0)|^2 \rangle$$

για μικρούς χρόνους $t \ll \tau_B$

$$\bar{r}(t) - \bar{r}(0) = v_0 t$$

v_0 : η ταχύτητα του αβεβαιότητας
κόλλοειδούς ανάμεσα σε διαδοχικές
κρούσεις μορίων διαλύτη.

$$\langle \Delta r^2(t) \rangle \approx v_0^2 t^2$$

για $t \ll \tau_B$

Για $\tau_B \leq t$ το κόλλοειδές ακολουθεί μια τυχαία κίνηση (τυχαίο περπάτημα) Brown υπό την επίδραση των θερμικών δυνάμεων (κρούσεων μορίων διαλύτη).

Για χρόνους $t \gg \tau_B$: ο μέσος χρόνος μεταξύ διαδοχικών κρούσεων μορίων διαλύτη ($\tau_B \approx 10^{-13}$ s) το κόλλοειδές έχει σχεδόν τόσο πολλές κρούσεις ώστε

$$\langle f(t) \rangle = 0$$

η δύναμη $f(t)$ είναι μια στατιστική συνάρτηση $f(t)$

$$\langle f(t) \cdot f(t') \rangle = B \delta(t-t')$$

το μέγεθος διακυμάνσεων B

δύναμης $B = k_B T \gamma$ (σε θερμική ισορροπία)

\rightarrow η σταθερά τριβής

Η εξίσωση κίνησης του Νέβντσα για ένα κολλοειδές σωματίδιο που ακολουθεί κίνηση Brown, για $t \gg t_B$ είναι:

$$m \frac{d\bar{v}}{dt} = -\gamma \bar{v} + \bar{F}(t) \quad (\text{εξίσωση Langevin})$$

ή $\bar{F}(t)$ για τυχαία δύναμη
και $\gamma = 6\pi\eta R$

Η μέση ταχύτητα $\langle \bar{v} \rangle$ του κολλοειδούς είναι:

$$m \frac{d\langle \bar{v} \rangle}{dt} = -\gamma \langle \bar{v} \rangle \quad (\text{αφού } \langle \bar{F} \rangle = 0)$$

$$\hookrightarrow \langle \bar{v} \rangle = v_0 \exp\left(-\frac{\gamma}{m} t\right) = v_0 \exp(-t/\tau_B)$$

$$\text{όπου } \tau_B = \frac{m}{\gamma} = \frac{m}{6\pi\eta_0 R}$$

για $t \gg \tau_B$ η μέση $\langle v \rangle$ πηγαίνει στο μηδέν.
και άρα τ_B είναι ο χρόνος που χρειάζεται για να "ξεχάσει" το σωματίδιο την αρχική του ταχύτητα v_0 .

$$\tau_B \approx 10^{-8} - 10^{-9} \text{ s} \gg \tau_s$$

\hookrightarrow για κολλοειδή.

$$\text{Ορίζουμε } \phi_0(t) = \frac{1}{3} \langle \bar{v}(t) \cdot \bar{v}(0) \rangle = \frac{k_B T}{m} \exp\left(-\frac{t}{\tau_B}\right)$$

συνάρτηση αυτοσυσχέτισης
της ταχύτητας

$$\text{ή } \langle v^2(t) \rangle = \frac{3k_B T}{m} = v_0^2$$

$$\text{Επειδή } \bar{r}(t) - \bar{r}_0 = \int_0^t dt' \bar{v}(t') \text{ έχουμε}$$

$$\frac{1}{6} \langle \Delta r^2(t) \rangle = \int_0^t du (t-u) \phi_0(u)$$

Άρα για αργά διακλάση

$$\langle \Delta r^2(t) \rangle = 6D_0 t \left[1 - \frac{\tau_B}{t} (1 - e^{-t/\tau_B}) \right] \rightarrow$$

$$\rightarrow \begin{cases} 6 \frac{k_B T}{2M} t^2 & \text{για } t_B \ll t \ll \tau_B \quad (\text{βαθυστή κίνηση}) \\ 6D_0 t & \text{για } t \gg \tau_B \quad (\text{διακλάση}) \end{cases}$$

• Όπως η εξίσωση Langevin με $\langle f(t)f(0) \rangle \approx \delta(t)$ ισχύει όταν η ασθένεια του διακλάση είναι πολύ μικρή.

Αν λάβουμε υπόψη μας την επίδραση της κίνησης του διακλάση στην κίνηση των σφαιριδίων για $t \approx \tau_B$.

Αυτές τις ασφαιρικές αλληλεπιδράσεις (στο επίπεδο του ενός σφαιριδίου) μπορούμε να τις πάρουμε υπόψη μας με την καλύτερη εξίσωση Langevin:

$$m \frac{d\bar{v}}{dt} = - \int_{-\infty}^t du \gamma(t-u) \bar{v}(u) + \bar{f}(t)$$

και

$$\langle f(t) \cdot f(t') \rangle = 3k_B T \gamma(t-t')$$

$\gamma(t)$ υπολογίζεται από ασφαιρικές θεωρίες.

↳ δίνει:

$$\langle \Delta r^2(t) \rangle \approx 6D_0 t \left[1 - \frac{2}{11} \left(\frac{\tau_n}{t} \right)^{1/2} \right]$$

$$\text{και } \phi_v(t) = \frac{1}{6} \frac{d^2}{dt^2} \langle \Delta r^2(t) \rangle \approx \frac{1}{9\sqrt{11}} \frac{k_B T}{M} \left(\frac{t}{\tau_n} \right)^{-3/2}$$

$$\text{όπου } \tau_n = \frac{R^2 \rho_s}{\eta} = \frac{9}{2} \left(\frac{\rho_s}{\rho} \right) \tau_B$$

ο χρόνος διακλάσης φιάς διακλάσης διακλάσης σε απόσταση R.

ΔΥΝΑΜΙΚΗ ΚΟΛΛΟΙΔΙΩΝ

● ΤΥΧΝΑ ΔΙΑΦΥΜΑΤΑ

$$\langle \Delta r^2(t) \rangle = 6D_s t$$

↳ ΣΥΝΤΕΛΕΣΤΗΣ ΑΥΤΟΔΙΑΦΥΜΗΣ (self-diffusion)

Σε αραιά διαλύματα

$$D_s = D_0 = \frac{k_B T}{6\pi\eta R} \quad (\text{Stokes-Einstein})$$

Σε πυκνά $D_s = D_s(\phi)$ (εξάρτηση του κλάσματος όγκου ϕ)

↳ Για μικρές συγκεντρώσεις

$$D_s = D_0 (1 - 1.83\phi) \quad (\text{Batchelor, 1976})$$

Εκτός από τις υδροδυναμικές αλληλεπιδράσεις που επηρεάζουν την δυναμική σε πυκνά διαλύματα γύρω από χρόνους $\tau_h \approx \tau_B$, υπάρχουν και οι άλλες αλληλεπιδράσεις (εξαιρητικού όγκου, ηλεκτροστατικές, van der Waals) που επιδρούν στην δυναμική των σωματιδίων σε χρόνους $\tau_I \approx \frac{R^2}{D_0}$ ($\approx 10^{-3} - 10^{-4}$ s)

Η περιοχή $\tau_B \ll t \ll \tau_I$ αντιστοιχεί στην χρήση δυναμική (που μπορεί να περιγραφεί με δυναμική σκέδαση φωτός Νείζερ), ενός

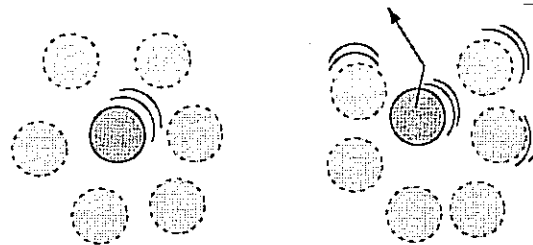


FIGURE 8.2. Schematic view of a particle cage around a colloidal sphere for short times $\tau_B \ll t \ll \tau_I$ (left), and long times $t \gg \tau_B$ (right).

σωματιδίου μέσα στον "κλωβό" (cage) όπου εγκλωβίζεται από τα γειτονικά σωματίδια του.

ΔΥΝΑΜΙΚΗ ΚΟΠΠΟΓΙΔΩΝ

• ΠΥΚΝΑ ΔΙΑΛΥΜΑΤΑ

Η αυτοδιάχυση (self-diffusion) σε μεγάλες συγκεντρώσεις κολλοειδών ($\phi > 0.4$ για σκληρές σφαίρες) αντιστοιχεί στην κίνηση ενός σφαιριδίου μέσα στον "κλωβό" (cage), πριν γίνει την αλληλεπίδραση των γειτόνων.

Η μέση ελεύθερη διαδρομή:

$$\langle \Delta r^2(t) \rangle = 6D_s^s t \quad \text{για} \quad \tau_B \ll t \ll \tau_I$$

όπου D_s^s είναι ο συντελεστής αυτοδιάχυσης σε μικρούς χρόνους (short-time self diffusion coefficient).

Ο συντελεστής D_s^s είναι μικρότερος του D_0 λόγω της επίδρασης των υδροδυναμικών αλληλεπιδράσεων που εμποδίζουν την ελεύθερη κίνηση (καθυστέρων) του σφαιριδίου σε μεγάλες συγκεντρώσεις.

Σε μεγαλύτερους χρόνους $t \gg \tau_I$ το σφαιρίδιο έχει υποστεί πολλές κρούσεις (αλληλεπιδράσεις) από γειτονικά σφαιρίδια και η διάχυση του εκτός του "κλωβού" λαμβάνει χώρα με συντελεστή διάχυσης $0 \leq D_s^l \leq D_s^s \leq D_0$.

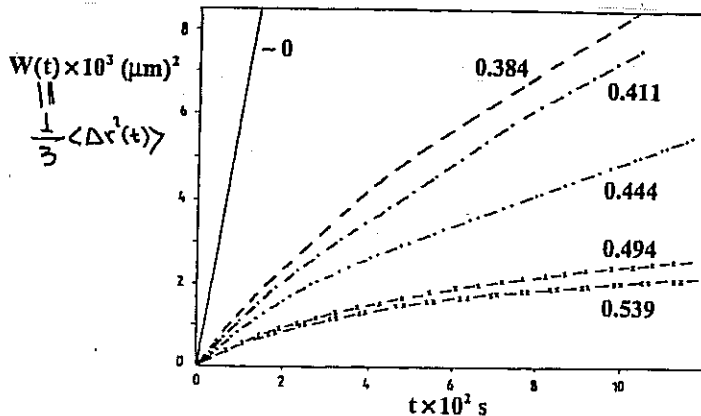


FIGURE 8.5. Mean-square displacement $W(t)$ of silica tracer spheres in an index-matched host suspension of PMMA spheres (of same size as the silica particles). The curves are labelled by volume fraction Φ . The last two volume fractions represent the co-existing fluid ($\Phi_{free} \approx 0.494$) and crystalline ($\Phi_{melt} \approx 0.539$)

• ΠΥΚΝΑ ΔΙΑΔΥΜΑΤΑ

Για $t \gg \tau_I$ έχουμε:

$$\langle \Delta r^2(t) \rangle = 6D_I t$$

Καθώς πλησιάζουμε την συγκέντρωση υαλώδους μετάβασης ($\phi = 0.58$ για σκληρές σφαίρες) τα σφαιρίδια, προσδεδωμένα, παγιδεύονται όλο και περισσότερο από τους γείτονες τους με αποτέλεσμα τελικά για $\phi > 0.58$ η αρχή, εκτός του "κλωβού" διάχυση να παύσει:

$$D_s^e \approx 0 \quad \text{για } \phi > 0.58$$